



Assessment and Monitoring of Drought Using Satellite and Meteorological Time Series Data (Case Study: Zanjan Province)

Hossein Shojaee Shiri,¹ Hossein Arzani,² Hamidreza Keshtkar,^{3*} Setareh Bagheri,⁴ Omid Kavoosi⁵

1. Department of Reclamation of Arid and Mountainous Regions, Faculty of Natural Resources, University College of Agriculture & Natural Resources, University of Tehran, Karaj, Iran. Email: shiri13751380@gmail.com
2. Department of Reclamation of Arid and Mountainous Regions, Faculty of Natural Resources, University College of Agriculture & Natural Resources, University of Tehran, Karaj, Iran. Email: harzani@ut.ac.ir
3. Department of Reclamation of Arid and Mountainous Regions, Faculty of Natural Resources, University College of Agriculture & Natural Resources, University of Tehran, Karaj, Iran. Email: Hkeshtkar@ut.ac.ir
4. Department of Reclamation of Arid and Mountainous Regions, Faculty of Natural Resources, University College of Agriculture & Natural Resources, University of Tehran, Karaj, Iran. Email: s.bagheri2021@yahoo.com
5. Crisis Management Directorate, Alborz Governorate, Karaj, Iran. Email: omidkavoosi20@gmail.com

Article Info

ABSTRACT

Article type:
Research Article

Objective: This study aims to conduct a comparative analysis of drought indices by integrating meteorological and satellite-based indices to enhance the spatial and temporal monitoring of drought in Zanjan Province.

Article history:
Received 12 January 2025
Received in revised form 27 January 2025
Accepted 15 March 2025
Available online 21 March 2025

Method: Two meteorological drought indices, Standardized Precipitation Index (SPI) and Standardized Precipitation Evapotranspiration Index (SPEI), were calculated for different time scales (1, 3, 6, 9, and 12 months) from 2004 to 2022. Additionally, five satellite-based drought indices—Normalized Difference Vegetation Index (NDVI), Enhanced Vegetation Index (EVI), Vegetation Condition Index (VCI), Temperature Condition Index (TCI), and Vegetation Health Index (VHI)—were extracted for the same period. The results of these indices were compared to evaluate their effectiveness in drought monitoring.

Keywords:
Drought indices,
SPI,
SPEI,
NDVI,
Zanjan.

Results: The SPI and SPEI indices indicated that most of the studied years were in a normal condition, with excessive rainfall in 2019. SPEI identified drought conditions in 2008, 2011, and 2022, while SPI recorded drought in 2007 and 2022. Among the satellite-based indices, NDVI showed the highest correlation with meteorological indices ($R^2 = 0.82$), whereas VHI exhibited the lowest correlation ($R^2 = 0.57$).

Conclusions: The study highlights the effectiveness of NDVI in monitoring drought compared to other satellite-based indices. The findings provide a basis for informed decision-making in utilizing remote sensing data for rapid drought assessment.

Cite this article: Shojaee Shiri, H., Arzani, H., Keshtkar, H., Bagheri, S., Kavoosi, O. (2025). Assessment and Monitoring of Drought Using Satellite and Meteorological Time Series Data (Case Study: Zanjan Province). *ECOHYDROLOGY*, 12 (1), 613-634. <https://doi.org/10.22059/IJE.2025.380086.1841>



© Hossein Shojaee Shiri, Hossein Arzani, Hamidreza Keshtkar, Setareh Bagheri, Omid Kavoosi.
Publisher: University of Tehran Press. DOI: <https://doi.org/10.22059/IJE.2025.380086.1841>

Introduction

In recent decades, climate change has intensified the frequency and severity of natural hazards, including droughts, which significantly impact environmental and socioeconomic systems. Drought monitoring is essential for mitigating its adverse effects, yet its dynamic nature and delayed impacts make it challenging to predict. Traditional meteorological drought indices, such as the Standardized Precipitation Index (SPI) and the Standardized Precipitation Evapotranspiration Index (SPEI), are widely used for drought assessment. However, relying solely on meteorological data can be insufficient due to data scarcity and spatial limitations of weather stations. Remote sensing techniques have emerged as a complementary approach, providing spatially comprehensive and timely information for drought monitoring. Various satellite-based indices, such as the Normalized Difference Vegetation Index (NDVI), Enhanced Vegetation Index (EVI), Vegetation Condition Index (VCI), Temperature Condition Index (TCI), and Vegetation Health Index (VHI), are used to assess vegetation stress and drought conditions. This study aims to compare the effectiveness of meteorological and satellite-based drought indices in monitoring drought conditions in Zanjan Province, Iran.

Methodology

The research utilizes a combination of meteorological and satellite-based indices to analyze drought conditions over a 19-year period. The meteorological drought indices used in this study include SPI and SPEI, which were calculated using precipitation and temperature data from 11 synoptic weather stations. These indices were computed for different time scales, including 1-month, 3-month, 6-month, 9-month, and 12-month periods, to capture both short-term and long-term drought variations. The meteorological data were processed using MATLAB software, and the resulting drought classifications were mapped using GIS techniques.

To complement the meteorological analysis, five satellite-based drought indices were extracted from MODIS (MOD13Q1) imagery:

- **NDVI** (Normalized Difference Vegetation Index) measures vegetation health by comparing the difference between near-infrared and red reflectance.
- **EVI** (Enhanced Vegetation Index) is similar to NDVI but incorporates additional atmospheric corrections to improve sensitivity in dense vegetation areas.
- **VCI** (Vegetation Condition Index) evaluates vegetation stress by normalizing NDVI values over a historical time series.
- **TCI** (Temperature Condition Index) assesses temperature anomalies to indicate heat stress in vegetation.
- **VHI** (Vegetation Health Index) combines both VCI and TCI to provide a comprehensive measure of vegetation health.

The correlation between meteorological and satellite-based indices was evaluated using Pearson's correlation coefficient (r). The spatial distribution of drought severity was mapped using GIS and TerrSet software, and the relationship between indices was analyzed to determine which indices best represent drought conditions in Zanjan Province.

Results and Discussion

The results of the study reveal distinct drought patterns in Zanjan Province over the 19-year study period. The SPI and SPEI indices indicate that most years were classified as normal, with only 2019 experiencing excessive rainfall. However, drought conditions were observed in multiple years, with SPEI identifying severe drought in 2008, 2011, and 2022, while SPI recorded drought events in 2007 and 2022. The difference in drought classification between SPI and SPEI highlights the influence of temperature on drought assessment, as SPEI incorporates evapotranspiration effects, making it more sensitive to temperature fluctuations.

The spatial analysis of drought severity based on meteorological indices showed that different regions of Zanjan Province experienced varying drought intensities. The northern and central parts of the province were more prone to drought, while the southern and western regions exhibited less severe

drought conditions. These spatial variations emphasize the need for localized drought monitoring strategies to address regional differences in drought vulnerability.

Among the satellite-based indices, NDVI exhibited the highest correlation with meteorological indices, with a coefficient of determination (R^2) of 0.82, indicating a strong relationship between NDVI and SPI/SPEI. This finding suggests that NDVI is a reliable indicator of drought conditions, as it effectively captures vegetation stress caused by precipitation deficits. In contrast, VHI demonstrated the lowest correlation ($R^2 = 0.57$), suggesting that it may be less effective in detecting drought conditions in this region. The moderate performance of VCI and TCI further highlights the variability in satellite-based indices, as their effectiveness depends on the specific environmental conditions of the study area.

The temporal analysis of NDVI trends showed that vegetation conditions deteriorated during drought years, with significant declines in NDVI values observed in 2008, 2011, and 2022. These findings align with the meteorological drought classifications, confirming that remote sensing data can provide valuable insights into drought impacts on vegetation. Additionally, EVI, which incorporates atmospheric corrections, exhibited a strong correlation with meteorological indices, making it a useful alternative for drought monitoring. However, EVI showed slightly lower sensitivity in areas with sparse vegetation, indicating that its applicability may be limited in arid and semi-arid regions.

Conclusion

The study demonstrates the significance of integrating remote sensing data with meteorological indices for comprehensive drought monitoring. The high correlation between NDVI and meteorological drought indices suggests its suitability for assessing vegetation stress due to drought. The findings highlight the importance of using multiple drought indices to capture different aspects of drought events, ensuring more accurate and reliable drought assessment. These results can aid decision-makers in implementing timely drought mitigation strategies and optimizing resource management in drought-prone regions.

Author Contributions

All authors have the same contributions in conceptualization; investigation; data collection; methodology; formal analysis; software; initial drafting; writing and editing.

Data Availability Statement

It is a part of MSc thesis which is undergoing at the University of Tehran

Acknowledgements

The authors sincerely appreciate the Iran Meteorological Organization for providing the meteorological data used in this study.

Ethical considerations

This study was conducted in accordance with ethical principles and guidelines. All data used in this research were obtained from publicly available sources or authorized institutions, ensuring compliance with ethical standards. The authors declare that there are no conflicts of interest regarding this study.

Funding

This research was supported by the University of Tehran, which provided the necessary facilities and financial support for conducting this study.

Conflict of interest

The authors declare that they have no conflict of interest regarding this study.



انتشارات دانشگاه تهران

محله اکوهیدرولوژی

شایای الکترونیکی: ۶۱۰۱-۲۴۲۳

سایت نشریه: <https://ije.ut.ac.ir>

ارزیابی و پایش وضعیت خشکسالی با استفاده از داده‌های ماهواره‌ای و هواشناسی براساس سری‌های زمانی (مطالعه موردی: استان زنجان)

حسین شجاعی شیری^۱, حسین ارزانی^۲, حمیدرضا کشتکار^{۳*}, ستاره باقری^۴, امید کاووسی^۵

۱. دانش آموخته کارشناسی ارشد، گروه احیای مناطق خشک و کوهستانی، دانشکده منابع طبیعی، دانشگاه کشاورزی و منابع طبیعی، دانشگاه تهران، کرج، ایران. رایانمه: shiri13751380@gmail.com
۲. استاد گروه احیای مناطق خشک و کوهستانی، دانشکده منابع طبیعی، دانشگاه کشاورزی و منابع طبیعی، دانشگاه تهران، کرج، ایران. رایانمه: harzani@ut.ac.ir
۳. استادیار گروه احیای مناطق خشک و کوهستانی، دانشکده منابع طبیعی، دانشگاه کشاورزی و منابع طبیعی، دانشگاه تهران، کرج، ایران. رایانمه: Hkeshtkar@ut.ac.ir
۴. پژوهشگر پسادکتری گروه احیای مناطق خشک و کوهستانی، دانشکده منابع طبیعی، دانشگاه کشاورزی و منابع طبیعی، دانشگاه تهران، کرج، ایران. رایانمه: s.bagheri2021@yahoo.com
۵. اداره کل مدیریت بحران، استانداری البرز، کرج، ایران. رایانمه: omidkavoosi20@gmail.com

| اطلاعات مقاله | چکیده |
|---------------|--|
| نوع مقاله: | موضع: پایش مکانی و زمانی خشکسالی با استفاده از شاخص‌های هواشناسی و ماهواره‌ای در استان زنجان. |
| مقاله پژوهشی: | هدف: این مطالعه با هدف مقایسه شاخص‌های خشکسالی، شامل دو شاخص هواشناسی و پنج شاخص مبتنی بر داده‌های ماهواره‌ای، بهمنظور بهبود پایش خشکسالی در استان زنجان انجام شده است. |
| تاریخ دریافت: | روشن تحقیق: در این پژوهش، دو شاخص هواشناسی شامل شاخص بارندگی استاندارد (SPI) و شاخص بارش تبخیر و تعرق استاندارد (SPEI) برای سری‌های زمانی ۱، ۳، ۶، ۹ و ۱۲ ماهه در بازه ۲۰۰۴ تا ۲۰۲۲ محاسبه شدند. همچنین، پنج شاخص خشکسالی مبتنی بر داده‌های ماهواره‌ای شامل VCI، EVI، NDVI، TCI و VHI در همین بازه زمانی استخراج گردید. در ادامه، نتایج این شاخص‌ها با داده‌های هواشناسی مقایسه شد. |
| تلیدوازه‌ها: | یافته‌ها: نتایج نشان داد که شاخص‌های SPI و SPEI بیشتر سال‌های مورد بررسی را در وضعیت نرمال گزارش کرده‌اند، درحالی که تنها در سال ۲۰۱۹ ترسالی مشاهده شد. SPEI وقوع خشکسالی را برای سال‌های ۲۰۰۸، ۲۰۱۱ و ۲۰۲۲ تأیید کرد، درحالی که SPI خشکسالی را برای سال‌های ۲۰۰۷ و ۲۰۲۲ ثبت نمود. در میان شاخص‌های ماهواره‌ای، NDVI با ضریب تشخیص ($R^2 = 0.82$) بیشترین همبستگی را با شاخص‌های هواشناسی نشان داد. درحالی که VHI کمترین میزان ($R^2 = 0.57$) را داشت. |
| SPI | نتیجه‌گیری: نتایج این پژوهش نشان داد که شاخص NDVI در مقایسه با سایر شاخص‌های ماهواره‌ای عملکرد بهتری در پایش خشکسالی دارد. این یافته‌ها می‌توانند به عنوان مبنای برای تصمیم‌گیری صحیح در ارزیابی سریع داده‌های سنتجش از دور و پایش خشکسالی مورد استفاده قرار گیرند. |
| NDEI | زنجان. |

استناد: شجاعی شیری، حسین؛ ارزانی، حسین؛ کشتکار، حمیدرضا؛ باقری، ستاره؛ کاووسی، امید. ارزیابی و پایش وضعیت خشکسالی با استفاده از داده‌های ماهواره‌ای و هواشناسی براساس سری‌های زمانی (مطالعه موردی: استان زنجان). اکوهیدرولوژی، ۱۲(۱)، ۱۳-۳۴.

<https://doi.org/10.22059/IJE.2025.380086.1841>



© حسین شجاعی شیری، حسین ارزانی، حمیدرضا کشتکار، ستاره باقری، امید کاووسی.

ناشر: انتشارات دانشگاه تهران.

مقدمه

در دهه‌های اخیر، تغییرات اقلیمی منجر به افزایش وقوع و شدت خطرات طبیعی مانند بارندگی شدید، سیل، آتش‌سوزی جنگل‌ها و خشکسالی شده است که نشان‌دهنده روند افزایشی است (مسعود، غیان و فرامارزی^۱؛ ۲۰۲۰؛ کریبیچ^۲ و همکاران، ۲۰۱۷). این روند افزایشی به‌ویژه برای کشورهای در حال توسعه خطرناک است (زمیرانو^۳ و همکاران، ۲۰۱۷) خشکسالی‌ها علاوه‌بر اثرات تأخیری، با ابعاد دینامیکی متعدد از جمله شدت و مدت تغییر می‌کنند. این موضوع علاوه‌بر اینکه توصیف آن را دشوار کرده است، پیش‌بینی آن را به چالش مهمی برای محققان، برنامه‌ریزان و تصمیم‌گیران و سیاست‌گذاران تبدیل کرده است؛ بنابراین، پایش خشکسالی امری ضروری محسوب می‌گردد (زئو^۴ و همکاران، ۲۰۲۰).

پایش خشکسالی اغلب با استفاده از شاخص‌ها صورت می‌گیرد (مک‌کی، دویسکن و کلیست^۵؛ ویست^۶ و همکاران، ۲۰۱۰). تفاوت در مبانی فیزیکی متغیرهای مرتبط با خشکسالی، توسعه یک ابزار پایش و پیش‌بینی خشکسالی موفق را براساس یک متغیر یا شاخص منفرد مانند بارش یا رطوبت خاک، اگر نگوییم غیرممکن، دشوار می‌سازد. به عبارتی دیگر، استفاده از یک شاخص واحد برای نشان دادن تنوع و پیچیدگی شرایط و تأثیر خشکسالی یکی از محدودیت‌های اصلی پایش خشکسالی محسوب می‌گردد (ویلهیت^۷؛ ۲۰۰۵). از این‌رو، اغلب بررسی و مقایسه شاخص‌های گوناگون با هدف تشخیص بهترین شاخص‌ها در مطالعات جهانی و منطقه‌ای مدنظر قرار می‌گیرد (میرموسوی و کریمی، ۱۳۹۲).

از سوی دیگر، تکیه بر داده‌های آب‌وهوازی به‌تهابی برای نظارت بر مناطق تحت تأثیر خشکسالی کافی نیست؛ به‌ویژه زمانی که این داده‌ها می‌توانند ناپنهنگام، پراکنده و ناقص باشند. بنابراین، بهبود داده‌های آب‌وهوازی با تصاویر ماهواره‌ای برای شناسایی مکان و شدت خشکسالی برای پوشش کامل، بهروز و جامع از شرایط خشکسالی ضروری است (جی و پیترز، ۲۰۰۳^۸). لزوم استفاده از فناوری سنجش از دور نیز در پایش خشکسالی هواشناسی پررنگ است؛ زیرا درست است که می‌توان خشکسالی هواشناسی را به‌طور سنتی، با استفاده مستقیم از شاخص‌های خشکسالی هواشناسی، برای مثال، شاخص بارش استاندارد شده^۹ (SPI) و شاخص بارش-تبخیر و تعرق استاندارد شده^{۱۰} (SPEI) تشخیص داد (جی و پیترز، ۲۰۰۳). اما به‌دلیل محدودیت‌های جغرافیایی و اقتصادی هنگام تأسیس ایستگاه‌های هواشناسی، توانایی ارائه تخمين‌های خشکسالی صریح مکانی وجود ندارند (اوزکان، چن و یوستانگ، ۱۱^{۱۱}).

محققان از شاخص‌های متعددی در مطالعات خشکسالی استفاده نموده‌اند. برای مثال در یک مطالعه، از برخی از شاخص‌های خشکسالی نظیر^{۱۲} VHI^{۱۳}، TCI^{۱۴}، VCI^{۱۵} و SPI^{۱۶} برای پایش پویایی خشکسالی در منطقه Aravalli استفاده شده است (بویان، سینگ و کوگان، ۱۶^{۱۶}). نتایج مطالعه آن‌ها براساس نقشه‌های سری زمانی خشکسالی‌های مختلف هیچ‌گونه همبستگی خطی را بین خشکسالی‌های هواشناسی، هیدرولوژیکی و رویشی در منطقه نشان ندادند. در مطالعه‌ای دیگر از SPI برای ارزیابی توزیع مکانی-زمانی و شدت خشکسالی‌های هواشناسی استفاده کردند و دریافتند که توزیع مکانی-زمانی رویدادهای خشکسالی در مناطق کشاورزی-اکولوژیکی در حوضه دریاچه دره ریفت متغیر است (تسفمریان، ملگانی و گسیس، ۱۷^{۱۷}). نصیر و همکاران

1. Masud, Qian & Faramarzi

2. Kreibich

3. Zambrano

4. Zhao

5. McKee, Doesken & Kleist

6. Vicente

7. Wilhite

8. Ji & Peters

9. Standardized Precipitation Index

10. Standardized Transpiration & Evapotranspiration index

11. Ozelkan, Chen & Ustundag

12. Vegetation Health Index

13. Temperature Condition Index

14. Vegetation Condition Index

15. Standardized Water-Level Index

16. Bhuiyan, Singh & Kogan

17. Tesfamariam, Melgani & Gessesse

(۲۰۲۱) از SPEI در مقیاس زمانی سهماهه استفاده کردند و دریافتند که خشکسالی شدید در تمام مناطق منطقه تحقیقاتی از سال ۱۹۸۳ تا ۱۹۹۱ رخ داده است. در تحقیقی که در ترکیه انجام گرفته، محققان خشکسالی هواشناسی را با استفاده شاخص بارش-تبخیر و تعرق استانداردشده و خشکسالی کشاورزی را با کمک شاخص وضعیت گیاهی (VCI) مورد تجزیه و تحلیل قرار دادند و نتایج همبستگی نشان داد که بیشترین همبستگی بین دو پارامتر برای تمام مناطق با ۱۲ SPEI در تاستان و سپس پاییز و بهار به دست آمده است (سورمان، مهر و هادی،^۱ ۲۰۱۸). صابری و همکاران (۱۳۹۷) رابطه SPI با^۲ NDVI به دست آمده از تصاویر مودیس (MODIS) در استان آذربایجان غربی را مورد بررسی قرار دادند. براساس یافته‌های آن‌ها، SPI بیشترین همبستگی را با NDVI برای تعیین تغییرات دوره خشک داشت. این محققان در مطالعه‌ای دیگر، خشکسالی در دریاچه ارومیه را با تجزیه و تحلیل همبستگی NDVI و SPI بررسی کردند؛ نتایج آن‌ها نشان داد که شاخص خشکسالی کوتاه‌مدت (SPEI 3) در آن حوضه همبستگی قابل توجهی با NDVI ماهانه دارد. در پژوهشی که به منظور برآورد و پیش‌بینی پوشش گراسلندها در قسمت‌های غربی مغولستان با استفاده از شاخص‌های گیاهی مشتق شده از تصاویر سنجنده مودیس انجام شد، نتایج نشان داد که داده‌های NDVI و^۳ EVI برای مدیران مراتع به منظور نظارت و پیش‌بینی وضعیت مرتع و همچنین اتخاذ شیوه‌های چرایی مفید و مورد نیاز است (پالتسن^۴ و همکاران، ۲۰۱۷). مطالعات فوق بر لزوم استفاده از شاخص‌ها به عنوان ابزار پایش خشکسالی تأکید دارند.

در این مطالعه، هدف اصلی مقایسه توافقی شاخص‌های ماهواره‌ای در شناسایی تغییرات پوشش گیاهی ناشی از خشکسالی و مقایسه آن با روش‌های آماری مبتنی بر داده‌های بارندگی و تبخیر و تعرق ایستگاه‌های هواشناسی در استان زنجان است. همچنین، این تحقیق به پایش مکانی و زمانی خشکسالی در این منطقه براساس داده‌های تولیدشده در بازه زمانی ۲۰۰۴ تا ۲۰۲۲ برای سری‌های زمانی ۱، ۳، ۶، ۹ و ۱۲ ماهه می‌پردازد. با توجه به اهمیت اقتصادی و اجتماعی استان زنجان، نتایج این تحقیق باید در شناسایی و اجرای طرح‌های مقابله با خشکسالی در اولویت قرار گیرد تا کارایی و دقت هریک از شاخص‌ها به بهترین نحو مورد استفاده قرار گیرد.

مواد و روش‌ها

منطقه مورد مطالعه

استان زنجان با وسعتی برابر ۲۲۱۶۴۰۰ هکتار، ۱/۵ درصد مساحت کشور را تشکیل داده و در ۳۵ درجه و ۲۵ دقیقه تا ۳۷ درجه و ۱۵ دقیقه عرض شمالی و ۴۷ درجه و ۱ دقیقه تا ۴۹ درجه و ۵۲ دقیقه طول شرقی قرار گرفته است. این استان از شمال با استان‌های اردبیل و آذربایجان شرقی، از جنوب با استان همدان، جنوب غربی و شرقی به ترتیب با کردستان و قزوین و شمال غربی و شرقی نیز به ترتیب با استان‌های آذربایجان غربی و گیلان هم‌مرز است. میانگین دمای استان بین ۹/۴ درجه سانتی‌گراد تا ۱۷/۵ درجه سانتی‌گراد متغیر است. ارتفاع از سطح دریا در استان زنجان از ۳۷۰ متر تا ۲۰۰۰ متر متغیر است. متوسط دمای سالانه ۱۰/۹۴ درجه سانتی‌گراد و متوسط بارندگی ۳۲۰ میلی‌متر است. استان زنجان به لحاظ داشتن تنوع ارتفاعی و تأثیرپذیری از چند توده هوایی خزری، مدیترانه‌ای و صحراًی مرکزی، دارای اقلیم‌ها و اکوسیستم‌های متنوع است. با وجود این، استان زنجان جزو یکی از استان‌های سردسیر و کوهستانی شمال غربی کشور به شمار می‌آید و اقلیم غالب این منطقه نیمه‌خشک است (آقاجانجلو و همکاران، ۲۰۱۸).

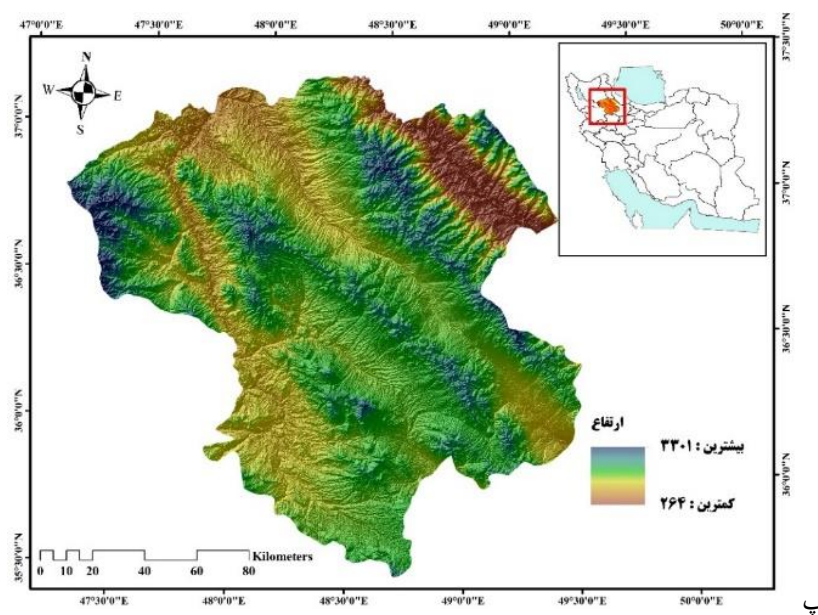
1. Šorman, Mehr & Hadi

2. Normalized Difference Vegetation Index

3. Moderate Resolution Imaging Spectroradiometer

4. Enhanced Vegetation Index

5. Paltsyn

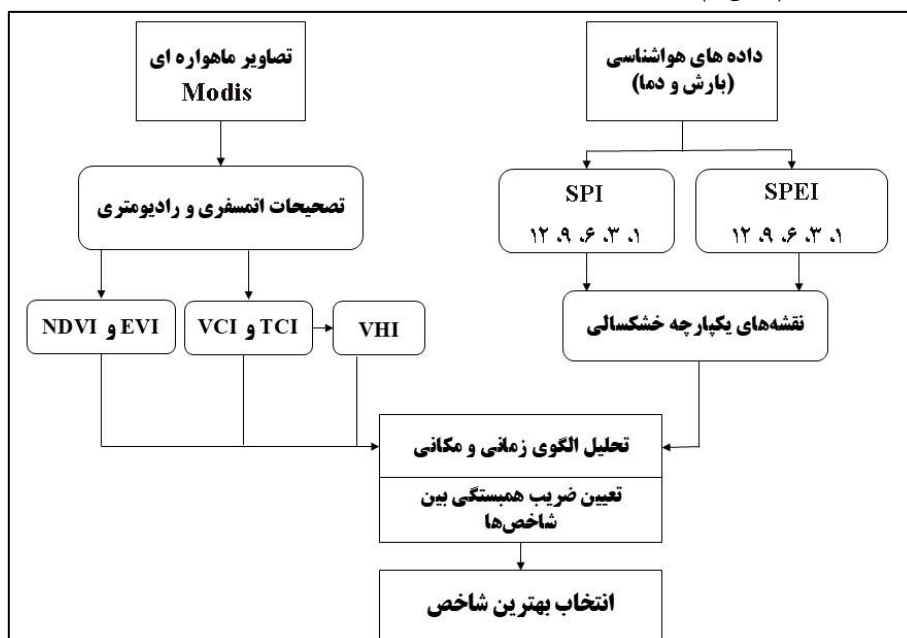


پ

شکل ۱. موقعیت و مدل ارتفاعی منطقه مورد مطالعه

روش انجام پژوهش

برای انجام این پژوهش شاخص‌های هواشناسی SPI و SPEI از مجموع داده‌های ماهانه بارش و دما ۱۱ ایستگاه در بازه زمانی ۲۰۰۴-۲۰۲۲، برای سری‌های زمانی ۱، ۳، ۵، ۶، ۹ و ۱۲ ماهه در نرم‌افزار MATLAB محاسبه شد. برای استخراج شاخص‌های ماهواره‌ای VCI، NDVI، EVI، MOD13Q1 نیز محصل VHI و TCI مسجند است. در بازه زمانی مورد مطالعه از (سایت NASA¹) دانلود شد. برای ارزیابی ارتباط میان شاخص‌های هواشناسی و ماهواره‌ای مورد مطالعه از ضریب همبستگی پیرسون (r) استفاده شد. تمام محاسبات مربوط و تولید نقشه‌های شاخص خشکسالی از طریق نرم‌افزارهای Terrset و سیستم‌های اطلاعات جغرافیایی (GIS) به دست آمد (شکل ۲).



شکل ۲. روند نمای انجام پژوهش

1. <https://earthexplorer.usgs.gov>

شاخص‌های هواشناسی

برای محاسبه شاخص‌های خشکسالی SPI و SPEI از اطلاعات بارندگی و دمای میانگین ماهانه ایستگاه‌های سینوپتیک استان زنجان و ایستگاه‌های هم‌جوار با مرز این استان، (درمجموع ۱۱ ایستگاه) استفاده شد. در این مطالعه برای ایجاد نقشه‌های مربوط به این دو شاخص، در محیط نرم‌افزار ArcGIS، از روش درون‌یابی IDW برای تهیه نقشه‌های پهنه‌بندی شده استفاده شد.

۱. شاخص SPI

شاخص بارش استاندارد می‌تواند برای پایش و ارزیابی انواع مختلف خشکسالی در مقیاس‌های مکانی مورد استفاده قرار گیرد. این شاخص فقط عامل بارندگی را در نظر می‌گیرد و اثرات تبخیر ناشی از دما و سایر عوامل هواشناسی نادیده گرفته می‌شود. این شاخص در مقیاس‌های زمانی مختلف (SPI-1, SPI-3, SPI-6, SPI-9, SPI-12) و براساس رابطه (۱) تهیه شد.

$$\text{SPI} = \frac{P_i - \bar{P}}{S}$$

که در آن، P_i مقدار بارندگی در سال مورد نظر، S انحراف معیار و \bar{P} میانگین بارندگی طولانی مدت است. شاخص بارش استاندارد، با ارقام مثبت به میانگین بارش به نمایانگری بهتر از معدل بارش است و در مقابل، مقادیر منفی این شاخص به نمایانگری پایین‌تر از معدل بارش هستند. این شاخص به صورت عددی بیان می‌شود و این امکان را فراهم می‌کند تا به صورت یکسان و قابل مقایسه در مناطق با شرایط آب‌وهواهی مختلف مورد استفاده قرار گیرد. همچنین، از این شاخص می‌توان برای تعیین دوره‌های مرتبط و خشک در طول زمان استفاده کرد (زو^۱ و همکاران، ۲۰۲۱).

۲. شاخص SPEI

شاخص بارش تبخیر و تعرق استاندارد با استفاده از پارامتر بارش (P) و تبخیر تعرق پتانسیل (PET) محاسبه می‌گردد. بر این اساس، برای برآورد تبخیر تعرق پتانسیل از معادله تورنت وایت^۲ (۱۹۸۴) استفاده شد (رابطه ۲).

$$\text{PET} = 16N_m \left(\frac{10T_m}{1} \right)^a \quad (2)$$

که در آن N_m ضریب تصحیحی است که بر مبنای ماه مورد نظر و عرض جغرافیایی منطقه مورد مطالعه تعیین شد. T_m میانگین دمای ماه مورد نظر بر حسب درجه سانتی‌گراد، I شاخص حرارتی که برای کل سال و a که بر مبنای I محاسبه شد. پس از به دست آوردن میانگین ماهانه بارش و دمای همه ایستگاه‌ها در بازه زمانی مورد مطالعه، تمامی محاسبات SPEI مربوط به مقیاس‌های زمانی ۱، ۳، ۶، ۹ و ۱۲ ماهه در نرم‌افزار MATLAB کدنویسی شد. شاخص SPEI دارای مقادیر مثبت و منفی است که هرچه مقادیر منفی بزرگ‌تر باشد، نشان‌دهنده خشکسالی باشدت بیشتر است (جدول ۱).

جدول ۱. طبقه‌بندی شاخص SPI و SPEI (لی و همکاران، ۲۰۱۴)

| SPEI/SPI | کلاس خشکی |
|---------------|-------------------|
| ≤ -2 | خشکسالی خیلی شدید |
| -۱/۹۹ تا -۱/۵ | خشکسالی شدید |
| -۱/۴۹ تا -۱/۰ | خشکسالی متوسط |
| -۰/۹۹ تا /۹۹ | نزدیک نرمال |
| ۱/۰ تا ۱/۴۹ | ترسالی متوسط |
| ۱/۵۰ تا ۱/۹۹ | ترسالی شدید |
| ≥ 2 | ترسالی خیلی شدید |

۱-۲. شاخص‌های ماهواره‌ای

براساس اهداف این مطالعه از بین شاخص‌های ماهواره‌ای، شاخص‌های EVI، VCI، NDVI و TCI مورد استفاده قرار گرفتند که در ادامه، نحوه محاسبه هریک از این شاخص‌ها اشاره شده است.

1. Zuo

2. Thorntwaite

- شاخص تفاضل نرمال شده پوشش گیاهی (NDVI)

شاخص NDVI که از معروف‌ترین و پرکاربردترین شاخص‌های تصویری به شمار می‌آید از طریق رابطه (۳) محاسبه شد.

$$\text{NDVI} = \frac{(\text{NIR} - \text{RED})}{(\text{NIR} + \text{RED})} \quad (3)$$

که در آن RED انعکاس در باند سرخ و NIR، بازتاب در باند مادون قرمز نزدیک است.

- شاخص بهبود یافته پوشش گیاهی (EVI)

شاخص EVI حساسیت بیشتری در پایش پارامترهای تاج‌پوشش گیاهان مانند شاخص سطح برگ، ساختار تاج‌پوشش، فنولوژی و استرس گیاهان نسبت به NDVI دارد. یکی از مهم‌ترین مزایای این شاخص کاهش اثرات انسفری است. شاخص پوشش گیاهی EVI با استفاده از داده‌های سنجنده MODIS و با استفاده از رابطه (۴) محاسبه شده است.

$$\text{EVI} = \left[\frac{\text{RNIR} - \text{RRED}}{\text{RNIR} + \text{C}_1 \text{RRED} - \text{C}_2 \text{RBLUE} + 1} \right] 1 + \text{L} \quad (4)$$

که در آن R_{NIR} بازتاب در ناحیه مادون قرمز نزدیک، R_{RED} بازتاب در ناحیه قرمز، R_{BLUE} باند آبی و مقادیر ضرایب C_1 ، C_2 ، L به ترتیب ۱، ۶ و ۷/۵ هستند. دامنه عددی این شاخص در بازه ۱-۱+ قرار دارد.

- شاخص وضعیت پوشش گیاهی (VCI)

در این مطالعه، برای تولید شاخص VCI از شاخص EVI استفاده شد. رابطه (۵) نحوه محاسبه این شاخص را نشان می‌دهد:

$$\text{VCI} = \frac{\text{EVI} - \text{EVI}_{\min}}{\text{EVI}_{\max} - \text{EVI}_{\min}} \times 100 \quad (5)$$

در معادله فوق EVI_{\max} و EVI_{\min} ، حداقل و حداکثر مقادیر EVI برای همه پیکسل‌هاست. دامنه عددی این شاخص از صفر برای شرایط بسیار نامطلوب تا ۱۰۰ برای شرایط بهینه متغیر است و به صورت درصد بیان می‌شود.

- شاخص وضعیت دما (TCI)

بررسی تغییرات دقیق در سلامت پوشش گیاهی به‌دلیل استرس حرارتی با تجزیه و تحلیل داده‌های شاخص وضعیت دما (TCI) کنترل می‌شود (کوگان،^۱ ۲۰۰۲). از این‌رو، شاخص VCI به تنها یعنی نمی‌تواند برای پیش‌بینی خشکسالی استفاده شود و شاخص TCI نیز مورد نیاز است (سینگ، روی و کوگان،^۲ ۲۰۰۳). معادله این شاخص برای انعکاس پاسخ حرارتی پوشش گیاهی تعریف شده که هرچه مقدار حرارت بیشتر شود، شدت خشکسالی نیز افزایش می‌یابد. در واقع متغیر دمای سطح برای ارزیابی خشکسالی با استفاده از بازتاب‌های طیفی سطح زمین که به LST معروف است، استفاده می‌شود. برای تولید شاخص TCI از رابطه (۶) استفاده شد.

$$\text{TCI} = \frac{\text{LST}_{\max} - \text{LST}_i}{\text{LST}_{\max} - \text{LST}_{\min}} \times 100 \quad (6)$$

که در آن، LST_{max} و LST_{min} بیشینه و کمینه دمای سطح زمین در دوره مورد مطالعه است. سنجنده MODIS چندین محصول روزانه را از باندهای مادون قرمز حرارتی فراهم می‌کند. لذا در این مطالعه داده‌های LST از سنجنده MODIS به دست آمد.

- شاخص سلامت گیاهی (VHI)

از ترکیب شاخص وضعیت دما (TCI) و شاخص وضعیت گیاهی (VCI)، شاخص سلامت گیاهی (VHI) حاصل می‌شود. این شاخص نیز مطابق رابطه (۷) محاسبه شد.

$$\text{VHI} = 0.5 * (\text{VCI}) + 0.5 * (\text{TCI}) \quad (7)$$

شاخص‌های VCI و TCI دارای یک رابطه معکوس هستند که در آن مقدار VCI بالاتر، گویای مقدار TCI پایین‌تر است. ترکیبی از مقادیر VCI و TCI با همان وزن مقادیر، VHI را تولید می‌کند. نتایج معادله VHI طیف وسیعی از مقادیر صفر تا ۱۰۰ را تولید می‌کند که به پنج کلاس خشکسالی شامل عدم خشکسالی (نرمال)، خشکسالی ملایم، متوسط، شدید و خیلی شدید طبقه‌بندی می‌شوند.

1. Kogan

2. Singh, Roy & Kogan

بررسی همبستگی بین شاخص‌های هواشناسی و ماهواره‌ای

از تحلیل همبستگی برای بررسی وابستگی متقابل بین شاخص‌های هواشناسی و ماهواره‌ای استفاده شد. براساس تحلیل همبستگی در جایی که شاخص‌های خشکسالی باهم ارتباط قوی دارند، این نتیجه نشان می‌دهد که در کجا (و تحت چه شرایطی) شاخص‌های خشکسالی خاص ممکن است بیشترین کاربرد را در تصمیم‌گیری برای مدیریت راهبردی خطر خشکسالی داشته باشند. در این مطالعه، از شاخص همبستگی پیرسون برای بررسی همبستگی بین شاخص‌های هواشناسی و ماهواره‌ای استفاده شد. رابطه همبستگی پیرسون براساس رابطه زیر محاسبه می‌شود:

$$r = \frac{\sum_{i=1}^n (x_i - \bar{x})(y_i - \bar{y})}{\sqrt{\sum_{i=1}^n (x_i - \bar{x})^2} \sqrt{\sum_{i=1}^n (y_i - \bar{y})^2}}$$

ضریب همبستگی پیرسون در محدوده $-1 \leq r \leq 1$ قرار دارد. مقدار $r = 1$ نمایانگر همبستگی مثبت کامل است، مقدار صفر نمایانگر عدم وجود همبستگی و مقدار $r = -1$ نمایانگر همبستگی منفی کامل است.

نتایج

نتایج حاصل از تحلیل شاخص‌های هواشناسی SPI و SPEI

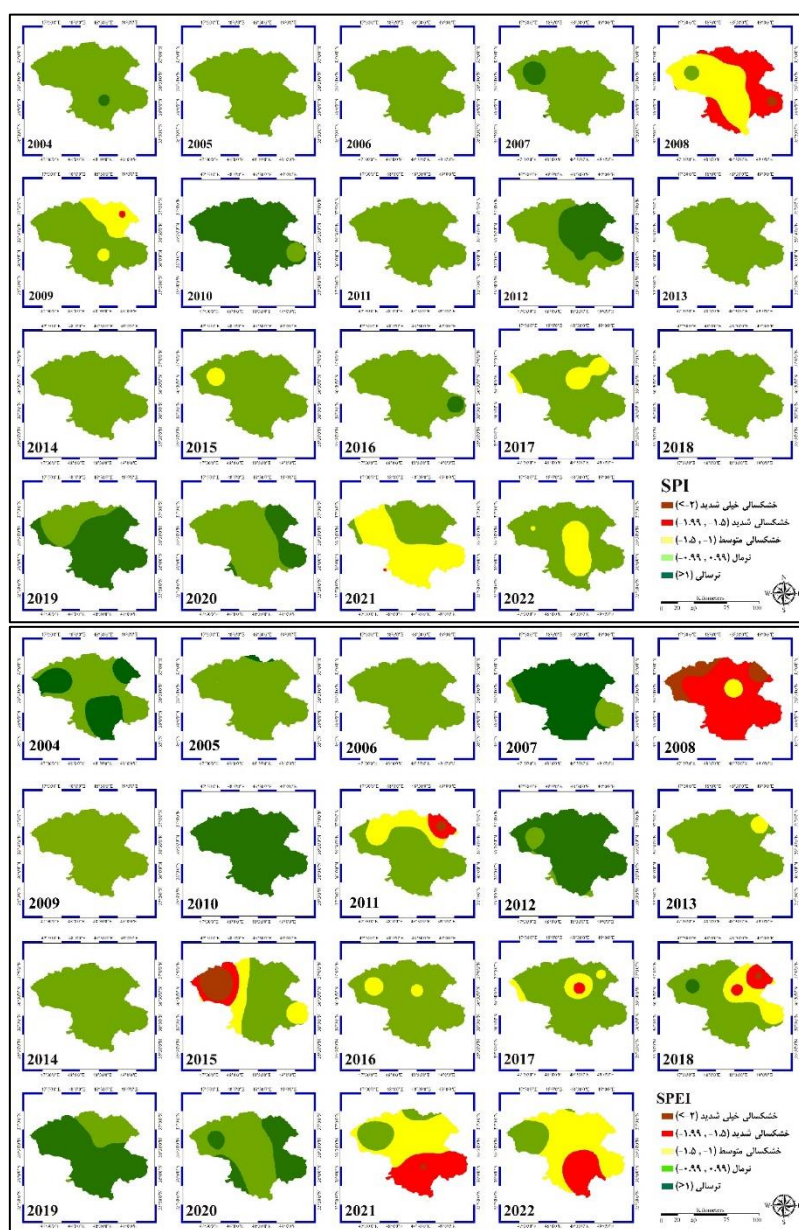
در جدول ۲، طبقه‌بندی وضعیت خشکسالی براساس SPEI و SPI سالانه (۱۲ ماهه) در سه کلاس «خشکسالی»، «نرمال» و «ترسالی» ارائه شده است. همان‌طور که در جدول مشاهده می‌شود کلاس ترسالی فقط در سال ۲۰۱۹ و کلاس خشکسالی در سال ۲۰۰۸ گزارش شده است؛ در حالی که تعداد سال‌هایی که کلاس نرمال را به خود اختصاص داده‌اند، بیشتر است. این نتیجه بیانگر این مطلب است که وضعیت اقلیمی استان زنجان در بازه زمانی ۲۰۰۴–۲۰۲۲ در اکثر سال‌ها نرمال بوده است.

در شکل ۲، پهنه‌بندی استان زنجان با استفاده از SPI سالانه برای بازه زمانی مورد مطالعه نشان شده است. مطابق نقشه‌های تهیه شده، در طول سال‌های ۲۰۰۸، ۲۰۰۹، ۲۰۱۵، ۲۰۱۷، ۲۰۲۱ و ۲۰۲۲، این استان با درجات مختلف خشکسالی (در بعضی مناطق به صورت موضعی) مواجه بوده است. در سال ۲۰۰۸ بخش قابل توجهی از استان، خشکسالی شدید تا خیلی شدید را تجربه کرده است؛ در حالی که در سال‌های ۲۰۰۹ و ۲۰۲۱ بخش بسیار کوچکی از استان تحت شرایط خشکسالی شدید بوده است. در سال ۲۰۲۱ در قسمت‌های جنوبی و شمال غربی استان خشکسالی متوسط و در سایر قسمت‌ها شرایط نرمال مشاهده می‌شود. در سال‌های ۲۰۰۹ و ۲۰۱۷ در قسمت‌های شمال شرقی استان خشکسالی متوسط رخ داده است. همچنین با توجه به نقشه‌های SPI سالانه، در طول سال‌های ۲۰۱۰، ۲۰۱۲، ۲۰۱۹ و ۲۰۲۰ شرایط نرمال رو به ترسالی وجود داشته است که بیشترین مساحت ترسالی متعلق به سال‌های ۲۰۱۹، ۲۰۱۰ و تا حدودی ۲۰۱۲ است.

جدول ۲. طبقه‌بندی وضعیت خشکسالی براساس شاخص‌های سالانه SPI و SPEI

| سال | SPEI-12 | وضعیت | سال | SPI-12 | وضعیت |
|------|---------|---------|------|--------|---------|
| ۲۰۰۴ | ۰/۹۰ | نرمال | ۲۰۰۴ | ۰/۴۸ | نرمال |
| ۲۰۰۵ | ۰/۵۴ | نرمال | ۲۰۰۵ | ۰/۱۰ | نرمال |
| ۲۰۰۶ | ۰/۰۶ | نرمال | ۲۰۰۶ | ۰/۱۸ | نرمال |
| ۲۰۰۷ | ۰/۸۴ | نرمال | ۲۰۰۷ | ۰/۵۷ | نرمال |
| ۲۰۰۸ | -۱/۰۵ | خشکسالی | ۲۰۰۸ | -۱/۰۶ | خشکسالی |
| ۲۰۰۹ | -۰/۲۴ | نرمال | ۲۰۰۹ | -۰/۸۱ | نرمال |
| ۲۰۱۰ | ۰/۸۳ | نرمال | ۲۰۱۰ | ۰/۹۲ | نرمال |
| ۲۰۱۱ | ۰/۰۱ | نرمال | ۲۰۱۱ | ۰/۱۷ | نرمال |
| ۲۰۱۲ | ۱/۱۷ | ترسالی | ۲۰۱۲ | ۰/۷۶ | نرمال |
| ۲۰۱۳ | -۰/۲۰ | نرمال | ۲۰۱۳ | -۰/۱۷ | نرمال |
| ۲۰۱۴ | -۰/۳۷ | نرمال | ۲۰۱۴ | -۰/۳۶ | نرمال |
| ۲۰۱۵ | -۰/۸۸ | نرمال | ۲۰۱۵ | -۰/۴۲ | نرمال |
| ۲۰۱۶ | -۰/۲۲ | نرمال | ۲۰۱۶ | ۰/۱۱ | نرمال |
| ۲۰۱۷ | -۰/۶۸ | نرمال | ۲۰۱۷ | -۰/۷۳ | نرمال |
| ۲۰۱۸ | -۰/۵۹ | نرمال | ۲۰۱۸ | . | نرمال |
| ۲۰۱۹ | ۱/۰۴ | ترسالی | ۲۰۱۹ | ۱/۰۸ | ترسالی |
| ۲۰۲۰ | ۱/۰۴ | ترسالی | ۲۰۲۰ | ۰/۸۳ | نرمال |
| ۲۰۲۱ | -۱ | خشکسالی | ۲۰۲۱ | -۰/۶۳ | نرمال |
| ۲۰۲۲ | -۱/۴۱ | خشکسالی | ۲۰۲۲ | -۱/۰۸ | خشکسالی |

نتایج پهنه‌بندی خشکسالی استان زنجان با استفاده از SPEI سالانه (۲۰۰۴-۲۰۲۲) در شکل ۳ ارائه شده است. براساس شاخص فوق در سال‌های ۲۰۰۸، ۲۰۱۱، ۲۰۱۳، ۲۰۱۵، ۲۰۱۶، ۲۰۱۷، ۲۰۱۸، ۲۰۲۱ و ۲۰۲۲، خشکسالی با درجات مختلف در این استان رخ داده است؛ به طوری که از نظر مکانی در سال ۲۰۰۸ در اکثر مناطق استان، و در سال‌های ۲۰۱۱ و ۲۰۱۸ در قسمت‌های شمال شرقی استان و در سال ۲۰۱۵ در قسمت‌های شمال غربی استان خشکسالی شدید تا خیلی شدید مشاهده می‌شود. در سال‌های ۲۰۲۱ و ۲۰۲۲ نیز بیشتر قسمت‌های استان به استثنای مناطق شمال غربی استان، تحت تأثیر خشکسالی متوسط تا شدید قرار داشته است. علاوه‌بر این، نتایج این شاخص نشان می‌دهد که در سال‌های ۲۰۰۷، ۲۰۱۰ و ۲۰۱۹ قسمت‌های بیشتری از استان با ترسالی مواجه بوده است.



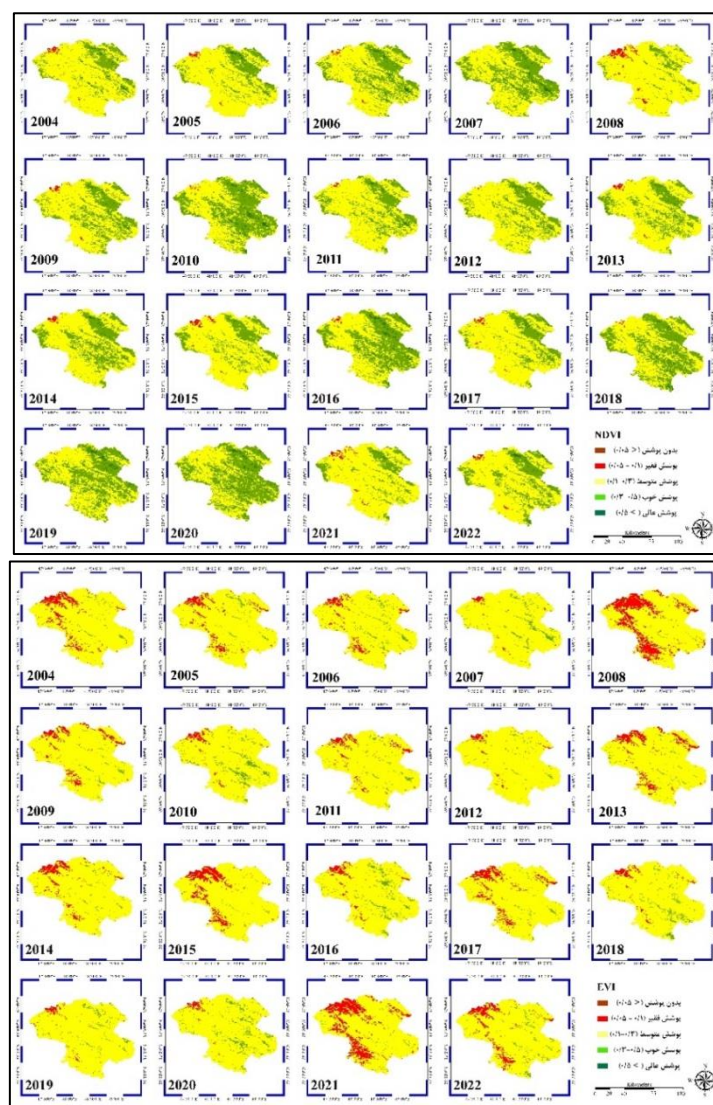
شکل ۳. پهنه‌بندی سالانه خشکسالی با استفاده از شاخص SPI (بالا) و SPEI (پایین) در بازه زمانی ۲۰۰۴-۲۰۲۲

نتایج حاصل از تحلیل شاخص‌های سنجش از دور

در شکل ۴، نقشه‌های میانگین سالانه NDVI در بازه زمانی ۲۰۰۴-۲۰۲۲ نشان داده شده است. مطابق نقشه‌های ارائه شده تقریباً تمامی سطح استان از پوشش گیاهی متوسط و خوب برخوردار است. با وجود این، در قسمت‌های غربی استان، پوشش گیاهی تا حدی به سمت متوسط (پیکسل‌های زردنگ) تنزل پیدا کرده است.

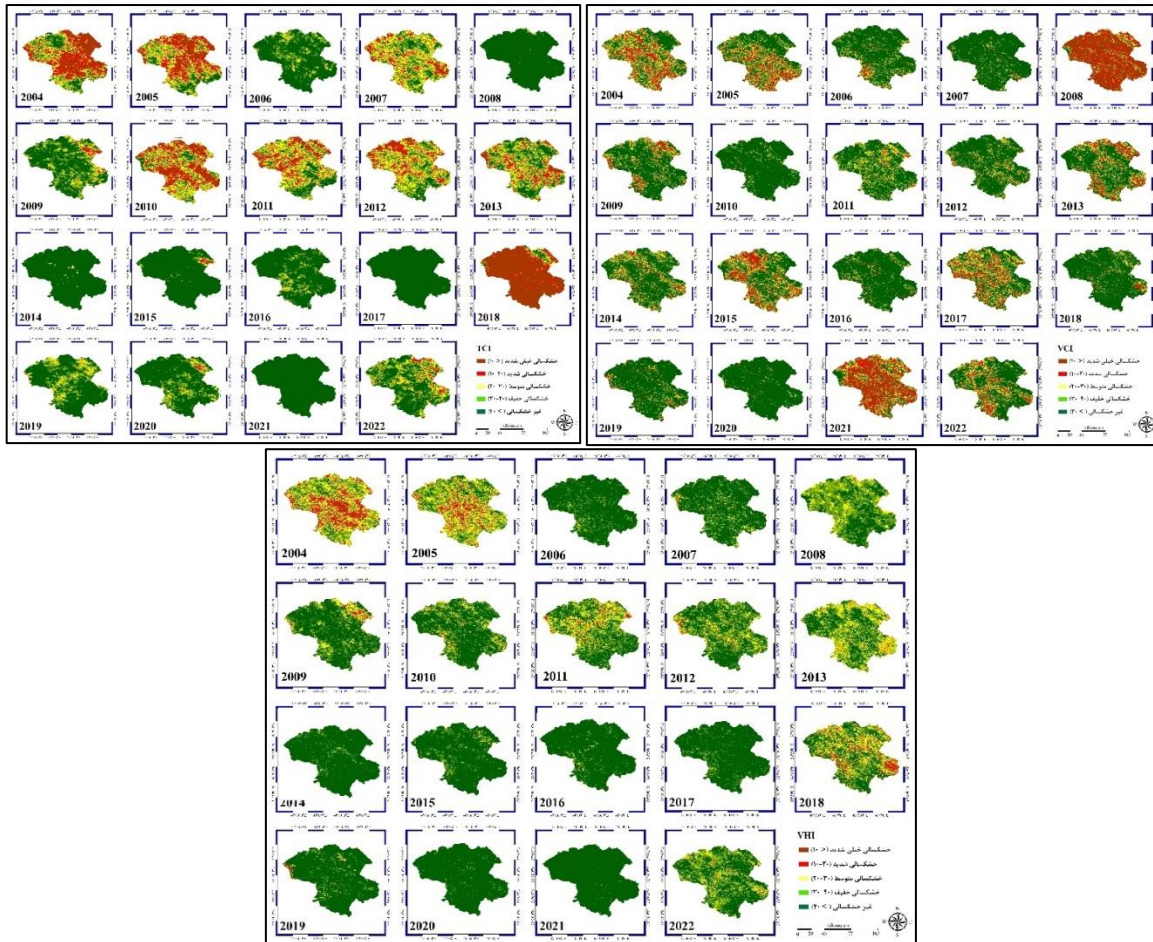
نقشه‌های میانگین سالانه EVI استان زنجان در بازه زمانی ۲۰۰۴-۲۰۲۲ در شکل ۴ ارائه شده است. در تصاویر به دست آمده از EVI نیز در قسمت‌های غربی، شمال غربی و جنوب غربی استان وضعیت پوشش گیاهی فقیر مشاهده می‌شود؛ اما نسبت به تصاویر به دست آمده از شاخص NDVI، مناطق بیشتری از استان دارای پوشش گیاهی با وضعیت متوسط است. همچنین تصاویر EVI نسبت به NDVI، افزایش چشمگیر پوشش فقیر را نشان می‌دهد.

در شکل ۵، نقشه میانگین سالانه VCI استان زنجان در بازه زمانی ۲۰۰۴-۲۰۲۲ ارائه شده است. مطابق نقشه‌های تهیه شده، خشکسالی خیلی شدید با گستردگی بیشتری در سال‌های ۲۰۰۸ و ۲۰۱۱ مشاهده می‌شوند. همچنین در سال‌های ۲۰۰۴، ۲۰۰۵، ۲۰۰۹، ۲۰۱۳، ۲۰۱۴، ۲۰۱۵، ۲۰۱۷ و ۲۰۲۲، خشکسالی‌های شدید تا خیلی شدید به صورت پراکنده در سرتاسر استان مشاهده می‌شود؛ در حالی که این شاخص برای سال‌های ۲۰۰۷، ۲۰۱۰، ۲۰۱۲، ۲۰۱۶ و ۲۰۲۰، شرایط متمایل به تراسالی را گزارش می‌دهد.



شکل ۴. میانگین سالانه شاخص NDVI (بالا) و شاخص EVI (پایین) در بازه زمانی ۲۰۰۴-۲۰۲۲

نتایج شاخص TCI نیز در شکل ۴ قابل مشاهده است. با توجه به نقشه‌های حاصل از این شاخص، در سال‌های ۲۰۰۴، ۲۰۰۵، ۲۰۰۷، ۲۰۱۰، ۲۰۱۱، ۲۰۱۲، ۲۰۱۳، ۲۰۱۸ و ۲۰۲۲، مقادیر پایین TCI که گویای شرایط نامناسب برای پوشش گیاهی است، وجود دارد. مطابق با این شاخص، بیشترین و گستردگرین تنفس خشکی مربوط به سال ۲۰۱۸ است. در سال‌های ۲۰۰۹ و ۲۰۲۰ نیز در قسمت‌های شمال شرقی و تا حدودی در مرکز استان، تنفس‌های دمایی مشاهده می‌شود. در شکل ۴ نقشه‌های میانگین سالانه VHI استان زنجان در بازه زمانی ۲۰۲۲-۲۰۰۴ ارائه شده است. مطابق نتایج، در سال‌های ۲۰۱۱، ۲۰۰۵، ۲۰۰۴ و ۲۰۱۸ خشکسالی به صورت پراکنده در استان مشاهده می‌شود.



شکل ۵. میانگین سالانه شاخص وضعیت پوشش گیاهی VCI (بالا)، TCI (وسط) و VHI (پایین)

ضریب تشخیص (R^2) بین شاخص‌های هواشناسی و ماهواره‌ای

با استفاده از نرم‌افزار Terrset نقشه مکانی میانگین ضریب تشخیص بین شاخص‌های هواشناسی و ماهواره‌ای برای یک دوره ۱۹ ساله تهییه شد و نتایج آن در شکل ۶ قابل مشاهده است. مقایسه شاخص‌های ماهواره‌ای که نتایج آن در جدول ۳ ارائه شده، بیانگر آن است که شاخص‌های ماهواره‌ای EVI و NDVI نسبت به سایر شاخص‌های ماهواره‌ای، تغییرات پوشش گیاهی را به نحو مطلوب‌تری نشان می‌دهند. همان‌طور که نتایج همبستگی SPI و SPEI با شاخص‌های ماهواره‌ای مشخص کرد، TCI برای مقیاس یک‌ماهه (کوتاه‌مدت)، NDVI برای مقیاس سه‌ماهه (کوتاه‌مدت و میان‌مدت)، EVI و VCI به طور مشترک برای مقیاس شش‌ماهه (میان‌مدت) و NDVI برای مقیاس نه‌ماهه (متوسط) مناسب است. در مقیاس ۱۲ ماهه، NDVI، با ۱ درصد اختلاف نسبت به EVI و VCI مناسب تشخیص داده شد. به طور کلی بیشترین ضریب تشخیص (R^2) بین شاخص‌های ماهواره‌ای و

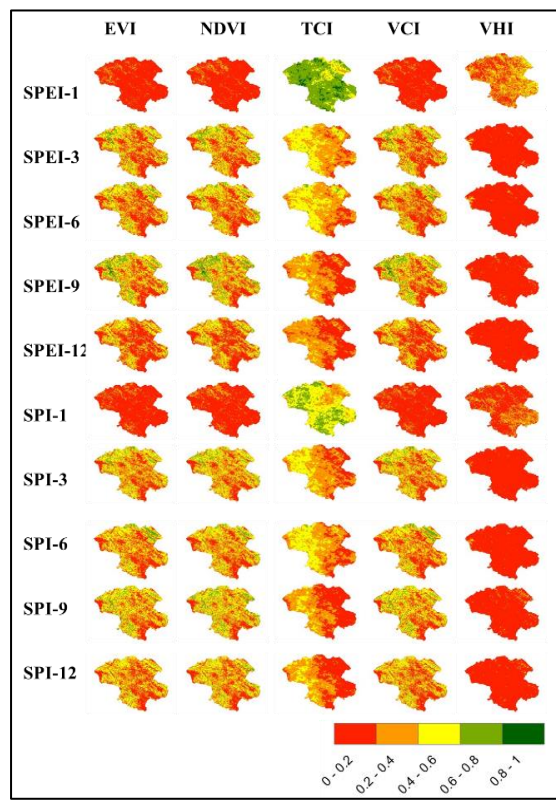
هواشناسی متعلق به NDVI است. پس از EVI و VCI قرار دارند و کمترین میزان ضریب تشخیص متعلق به VHI است (جدول ۳).

جدول ۳. میانگین مقادیر ضریب تشخیص (R^2) بین شاخص‌های هواشناسی و ماهواره‌ای (۲۰۲۲-۲۰۰۴)

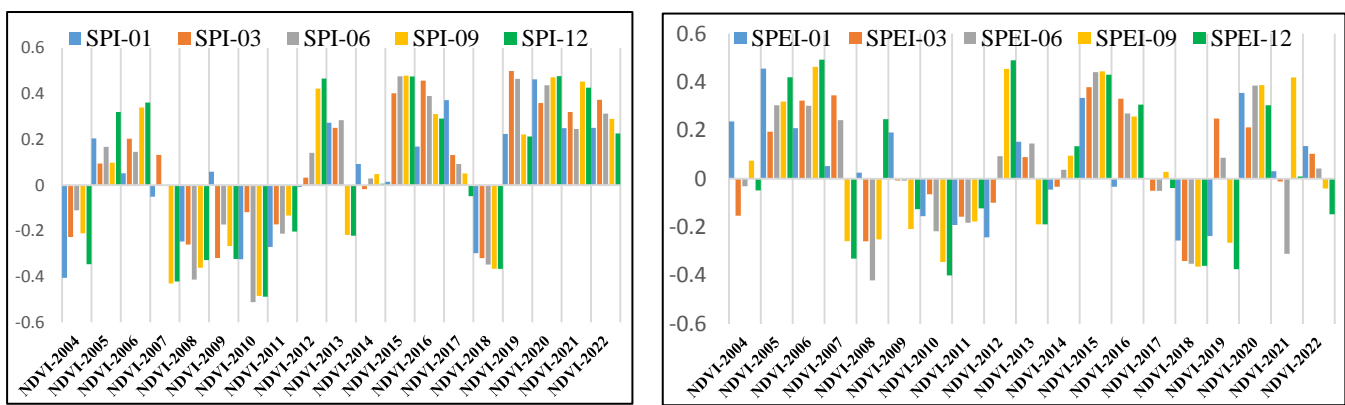
| Time series | EVI | NDVI | TCI | VCI | VHI |
|-------------|------|------|------|------|------|
| SPEI-01 | ۰/۵۵ | ۰/۶۴ | ۰/۹۳ | ۰/۵۵ | ۰/۷۵ |
| SPEI-03 | ۰/۸۶ | ۰/۹۲ | ۰/۷۶ | ۰/۸۶ | ۰/۶۱ |
| SPEI-06 | ۰/۸۵ | ۰/۸۴ | ۰/۷۲ | ۰/۸۵ | ۰/۶۶ |
| SPEI-09 | ۰/۸۸ | ۰/۹۰ | ۰/۶۵ | ۰/۸۸ | ۰/۴۶ |
| SPEI-12 | ۰/۸۱ | ۰/۸۱ | ۰/۶۲ | ۰/۸۱ | ۰/۵۲ |
| SPI-01 | ۰/۶۲ | ۰/۶۵ | ۰/۸۶ | ۰/۶۲ | ۰/۷۱ |
| SPI-03 | ۰/۸۴ | ۰/۸۶ | ۰/۷۲ | ۰/۸۴ | ۰/۴۹ |
| SPI-06 | ۰/۸۶ | ۰/۸۳ | ۰/۶۸ | ۰/۸۶ | ۰/۵۳ |
| SPI-09 | ۰/۸۸ | ۰/۹۰ | ۰/۶۲ | ۰/۸۸ | ۰/۵۰ |
| SPI-12 | ۰/۸۶ | ۰/۸۷ | ۰/۶۵ | ۰/۸۶ | ۰/۴۶ |
| Average | ۰/۸۰ | ۰/۸۲ | ۰/۷۲ | ۰/۸۰ | ۰/۵۷ |

همبستگی سالانه بین شاخص‌های هواشناسی و ماهواره‌ای

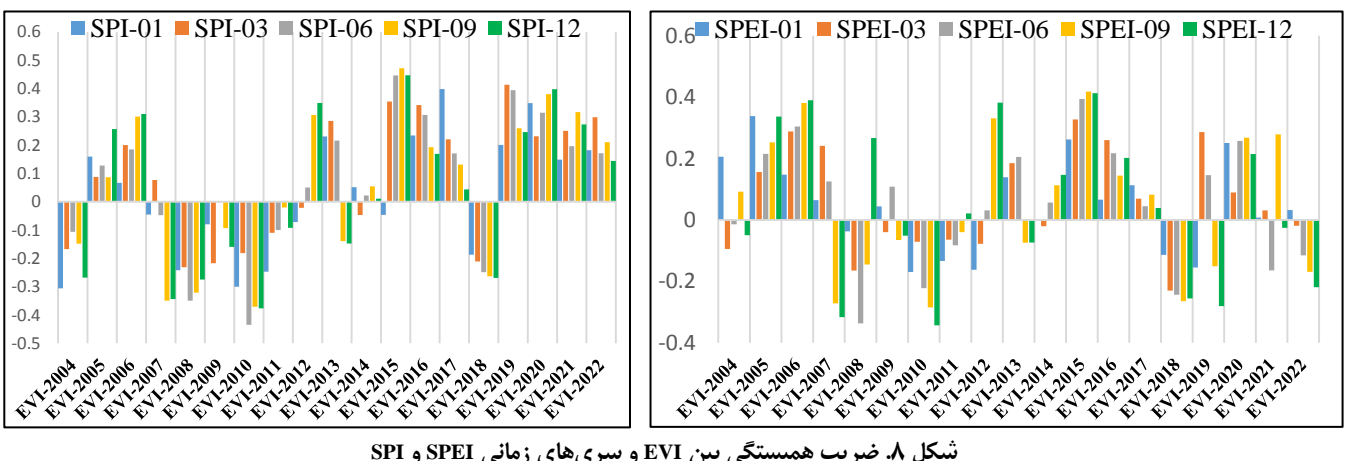
در شکل ۷، اطلاعات مربوط به ضریب همبستگی NDVI و سری‌های زمانی SPEI و SPI برای عرصه‌های طبیعی ارائه شده است. همان‌طور که در نمودارها مشاهده می‌شود، بیشترین میزان همبستگی متعلق به SPI-3 ($R=0/۵۰$) در سال ۲۰۱۹ است. نتایج ضریب همبستگی بین EVI و سری‌های زمانی شاخص‌های هواشناسی در شکل ۸ ارائه شده است. براساس نتایج بیشترین مقدار همبستگی متعلق به SPI-9 با $R=0/۴۷$ در سال ۲۰۱۵ است. در شکل ۹، نتایج ضریب همبستگی بین VCI و سری‌های زمانی شاخص‌های SPEI و SPI نمایش داده شده است. همان‌طور که در نمودار مشاهده می‌شود، بهترین مقدار همبستگی ($R=0/۳۶$) بین VCI و SPEI-1 سال ۲۰۰۵ است. اطلاعات ضریب همبستگی TCI و سری‌های زمانی شاخص‌های هواشناسی در شکل ۱۰ نمایش داده شده است. بهترین میزان همبستگی در این نمودار متعلق به شاخص SPI-12 ($R=0/۴۲$) در سال ۲۰۰۹ است. مقادیر ضریب همبستگی بین VHI و سری‌های زمانی شاخص‌های SPEI و SPI در شکل ۱۱ ارائه شده است. بیشترین میزان همبستگی در این نمودار متعلق به SPI-12 با $R=0/۳۷$ در سال ۲۰۰۹ است.



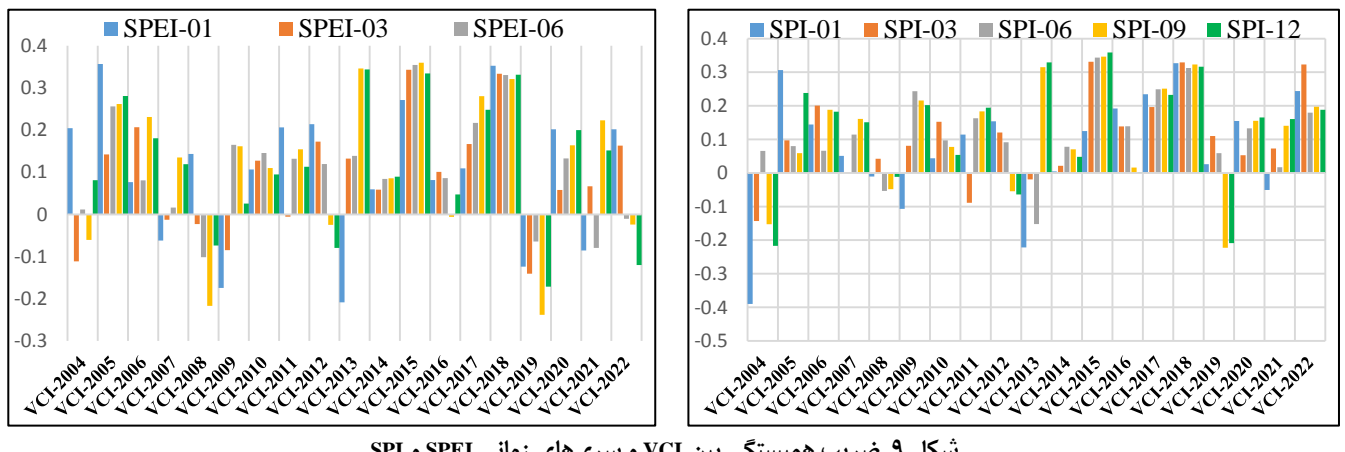
شکل ۶. ضریب تشخیص (R^2) بین شاخص‌های هواشناسی و ماهواره‌ای در بازه زمانی ۲۰۲۲-۲۰۰۴



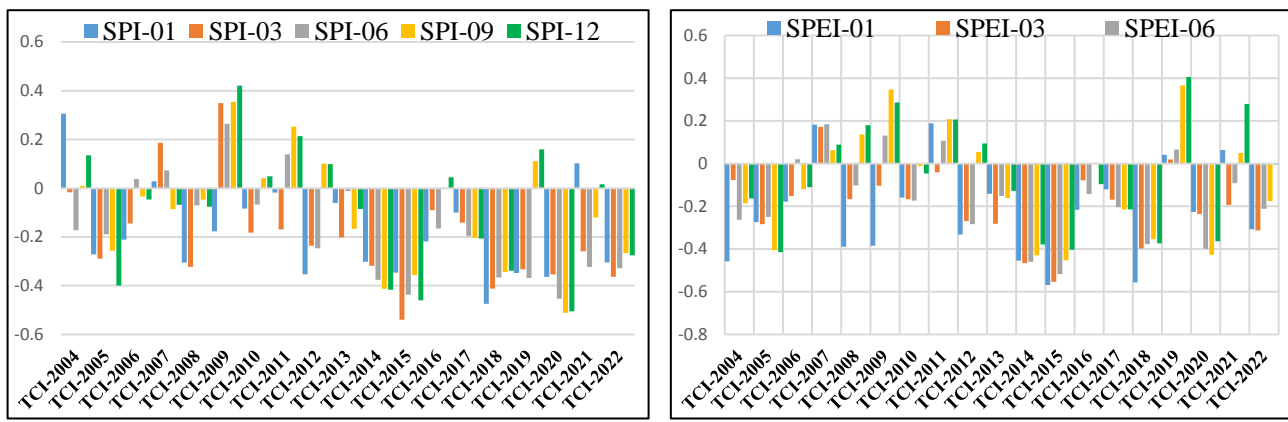
شکل ۷. ضریب همبستگی بین NDVI و سری‌های زمانی SPI و SPEI



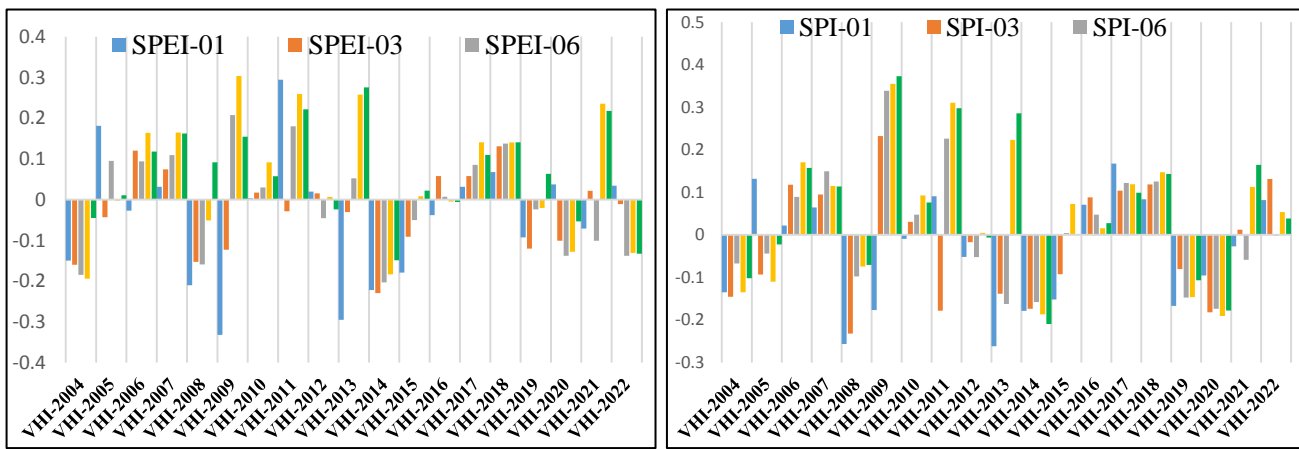
شکل ۸. ضریب همبستگی بین EVI و سری‌های زمانی SPI و SPEI



شکل ۹. ضریب همبستگی بین VCI و سری‌های زمانی SPI و SPEI



شکل ۱۰. ضریب همبستگی بین TCI و سری‌های زمانی SPI و SPEI



شکل ۱۱. ضریب همبستگی بین VHI و سری‌های زمانی SPI و SPEI

بحث و نتیجه‌گیری

این مطالعه با هدف ارائه سند معتبر و کمک به ارزیابی و پایش خشکسالی در استان زنجان انجام گرفت و مقایسه شاخص‌های تولیدشده از داده‌های ایستگاه هواشناسی و ماهواره‌ای نیز برای ارزیابی عواقب خشکسالی‌های هواشناسی بر پوشش گیاهی طبیعی استفاده شد. براساس نتایج پنهانه‌بندی خشکسالی استان زنجان با استفاده از SPI و SPEI وجود خشکسالی خیلی شدید در سال ۲۰۰۸ گزارش شد (جدول ۲). اثرات خشکسالی نیز از نظر زمانی و مکانی تنوع قابل توجهی را نشان داد. ازسوی دیگر، پنهانه‌بندی نشان داد که هر قسمت از منطقه متأثر از چه کلاس خشکسالی است که این نتیجه برای پیش‌بینی، تحلیل و مدیریت خشکسالی در مناطق تحت تأثیر (یا آسیب‌پذیر در درجه اول) مفید است. این نتیجه، همچنین بیانگر نقش و اهمیت پنهانه‌بندی در مدیریت منابع طبیعی، برنامه‌ریزی کاربری اراضی، حفاظت و احیای مرتع، و همچنین کاهش یا مقابله با پدیده خشکسالی است (هی، ۲۰۰۵).

SPI و SPEI سالانه طبقات متفاوت خشکسالی را در طی بازه زمانی مورد مطالعه نشان دادند (شکل ۳). وجود درجات مختلف خشکسالی در قسمت‌های مختلف استان خرسورت پایش خشکسالی را نشان می‌دهد. قبل ذکر است مزایای پایش خشکسالی در بهبود تولیدات کشاورزی (انتخاب ارقام مقاوم و سازگار به خشکی)، حفاظت محیط‌زیست و ترویج توسعه پایدار اجتماعی-اقتصادی عنوان شده است (بیان و همکاران، ۲۰۰۶).

در این مطالعه به طور همزمان از دو شاخص هواشناسی SPI و SPEI استفاده شد. انتخاب این دو شاخص به دلایل متعددی است؛ از جمله: (الف) برخی از منابع بر این مطلب اشاره دارند که در استفاده از SPI به عنوان یک شاخص مستقل خشکسالی باید

احتیاط کرد زیرا استفاده از SPI در مناطق با بارش فصلی کم برای دوره زمانی کوتاه‌مدت مانند یک تا سه ماه ممکن است منجر به خطای زیاد شود؛ ب) قادر به شناسایی مناطق مستعد خشکسالی بدلیل استاندارد بودن آن نیست زیرا مناطق با بارندگی شدید و کم ممکن است انحرافات بارندگی مشابهی داشته باشند (بوقوان^۱ و همکاران، ۲۰۲۳). این درحالی است که SPEI علاوه‌بر اینکه از بارندگی در ارزیابی خشکسالی استفاده می‌کند، تبخیر و تعرق بالقوه (PET) را در نظر می‌گیرد و همین عامل این شاخص را برای تشخیص تغییرپذیری زمانی خشکسالی‌ها مؤثرتر نشان داده است (هومدی، پونگپوت و کانایی،^۲ ۲۰۱۶؛ تیان، یانگ و کویرینگ،^۳ ۲۰۱۸). این نتیجه در استان کردستان گزارش شده است؛ بهطوری‌که برخی از محققان کارایی SPEI را بدلیل اضافه شدن عامل تبخیر و تعرق بهتر از SPI گزارش نمودند (مصطفی‌زاده و همکاران، ۱۳۹۵). در هند نیز بعد از ارزیابی خشکسالی با استفاده از SPI و VHI گزارش شد که ناهنجاری‌های منفی SPI همیشه با خشکسالی مطابقت ندارد (بویان و همکاران، ۲۰۰۶). لذا براساس مورث منابع صورت گرفته و نتایج این بخش استبطاط می‌شود در مطالعات اقلیمی بهتر است این دو شاخص هوایی با هم‌دیگر انتخاب شوند.

در این مطالعه از سری‌های زمانی در برآورد شاخص‌های هواشناسی بهدلیل ارائه اطلاعات کامل از ناهنجاری‌های بارش به تصمیم‌گیرندگان، جلوگیری از کاربرد غیرمنطقی SPI و تولید نتایج مبهم و ضعیف استفاده شد (دایان، دئو و آپان،^۴ ۲۰۱۸). از جمله دلایل انتخاب شاخص‌های خشکسالی هواشناسی و ماهواره‌ای می‌توان به این مطلب اشاره کرد که (الف) شاخص‌های خشکسالی هواشناسی فقط امکان ارزیابی خطرات اراضی تحت پوشش گیاهی را فراهم می‌کنند، درحالی‌که اطلاعات ماهواره‌ای علاوه‌بر شناسایی پوشش گیاهی آسیب‌دیده در انواع مختلف اراضی امکان ارزیابی میزان خسارت را نیز فراهم می‌کنند (مایینی و همکاران، ۱۳۹۵)؛ ب) در بحث پایش خشکسالی نیز برخی از محققان اذعان نمودند که برای کاربردهای عملی، چندین شاخص باید به عنوان ابزار حمایتی مورد استفاده قرار گیرند، زیرا یک شاخص واحد نمی‌تواند معیار دقیقی را برای ارزیابی و پایش خشکسالی ارائه دهد (دایان و همکاران، ۲۰۱۸). مطابق نتایج بیشترین مقادیر همبستگی شاخص‌های ماهواره‌ای و هواشناسی برای NDVI حاصل شد (جدول ۳) که مقدار ضریب همبستگی بالا NDVI با بارندگی (۰/۷۴) توسط معظمی^۵ و همکاران (۲۰۲۲) نیز اعلام شده است. مقدار همبستگی بالا (۰/۷۷) بین SPI و NDVI در مطالعات دیگر نیز گزارش شده است که با نتایج این مطالعه هم‌خوانی دارد (میرموسوی و هماران، ۱۳۹۲).

نقشه‌های حاصل از NDVI نیز حاکی از آن است که تمامی سطح استان از پوشش گیاهی متوسط و خوب برخوردار است (شکل ۳). باید اذعان نمود که خشکسالی عامل تهدیدکننده و شناخته شده در سطح مراتع است. در برخی از منابع خشکسالی‌های مکرر (تا ۸۶ درصد) دلایل اصلی از بین رفتن مراتع را به خود اختصاص داده‌اند (هیوهو^۶ و همکاران، ۲۰۱۴). این موضوع لزوم انتخاب مدیریت ریسک در کاهش خسارت خشکسالی را برای مدیران و برنامه‌ریزان مراتع بر جسته می‌کند. خسارت قابل توجه به مراتع زمانی رخ می‌دهد که تعداد دام به طور مناسب مدیریت نشود. لذا از آنچاکه منابع علوفه مرتتعی گستردگی و در معرض تنوع بارندگی است، راهبردهای سازگاری اولیه باید تعامل گیاه و دام را بهینه کرده و برنامه‌ریزی بلندمدت را در بر گیرد (کاستا، لالمان و هندرسون،^۷ ۲۰۱۶). در این راستا می‌توان از نقشه‌های NDVI به عنوان ابزاری برای شناسایی مناطق آسیب‌پذیر و سپس اولویت‌بندی آن‌ها برای اقدامات مدیریت چرا استفاده نمود.

براساس نقشه‌های تولیدشده از EVI، وضعیت پوشش گیاهی استان زنجان در قسمت‌های غربی، شمال غربی و جنوب غربی استان در بازه مورد مطالعه در وضعیت فقیر قرار دارد؛ بهطوری‌که تصاویر حاصل از EVI نسبت به NDVI، افزایش چشمگیر پوشش فقیر را نشان دادند (شکل ۴). این نتیجه در مباحث مربوط به مدیریت چرا در مراتع حائز اهمیت است؛ زیرا وجود پوشش گیاهی فقیر

1. Ugwu
2. Homdee, Pongput & Kanae
3. Tian, Yuan & Quiring
4. Dayal, Deo & Apan
2. Moazami
6. Huho
7. Scasta, Lalman & Henderson

لزوم رعایت ظرفیت چرا و تاریخ دقیق ورود و خروج دام در مرتע برای جلوگیری از تهدید (و حتی نابودی) هرچه بیشتر پوشش گیاهی را بر جسته می کند؛ از سوی دیگر بر توجه به اعمال سیستم های چرا در وضعیت فقیر مراتع برای بهبود و ارتقای وضعیت مراتع تأکید دارد. یکی از دلایل مشاهده افزایش چشمگیر پوشش فقیر در تصاویر EVI ممکن است به این علت باشد که در طول دوره بدون بارندگی، مقادیر NDVI می تواند نه تنها به دلیل زوال گیاه، بلکه به دلیل افزایش گردوبغایر در هوای کاهش یابد. به همین دلیل، شاخص پوشش گیاهی می تواند مقادیر کمتری از آنچه باید داشته باشد گزارش دهد (والی، موسوی و زمانی، ۲۰۱۹). برخی از محققان نیز اذعان نمودند که کمبود بارش تنها یکی از محرك های وضعیت پوشش گیاهی است و NDVI نمی تواند به طور جهانی برای شناسایی خشکسالی ها استفاده شود (Rimkus^۱ و همکاران، ۲۰۱۷)؛ در حالی که برخی دیگر از محققان اظهار نمودند که دو شاخص EVI و NDVI با اختلافی جزئی شبیه به هم هستند (نوربخش و نظری نژاد، ۱۴۰۱).

تأکید بر این واقعیت ضروری است که پاسخ پوشش گیاهی (و درنتیجه مقادیر NDVI) در برابر اثرات آب و هوایی به منطقه جغرافیایی و عوامل محیطی مانند نوع پوشش گیاهی، نوع خاک و کاربری زمین بستگی دارد (عثمان^۲ و همکاران، ۲۰۱۳). اگرچه شاخص های پوشش گیاهی به طور گستره ای برای پایش وضعیت پوشش گیاهی استفاده شده است، محدودیت استفاده از شاخص های پوشش گیاهی باید در نظر گرفته شود؛ زیرا عوامل دیگری مانند آتش سوزی ها، حشرات و جنگل زدایی احتمالاً منجر به کاهش رشد و کاهش ارزش EVI می شوند. سلامت پوشش گیاهی زمینی تحت تأثیر بسیاری از رویدادهای چرخه ای و ناگهانی است که ممکن است باعث تغییر روند سلامت پوشش گیاهی شود. تشخیص تغییرات در سری های زمانی اولین گام برای درک فرایندها و محرك های حاکم است (جونگ^۳ و همکاران، ۲۰۱۲). برخی از منابع نیز کارایی دو شاخص را در انواع مختلف اراضی متفاوت اعلام کرده اند، به طوری که گزارش شده است EVI در مناطقی با پوشش گیاهی متراکم پاسخ بهتری دارد؛ در حالی که NDVI مناسب برای بررسی پایش پوشش گیاهی دشت هایی مانند دشت سیستان که حیات آن ها نه بارش بلکه به رودخانه بستگی دارد (فیروزی، طاووسی و محمودی، ۱۳۹۸).

نتایج VCI (شکل ۵)، TCI (شکل ۵) و VHI (شکل ۵) در ارزیابی خشکسالی متفاوت بود. این نتیجه لزوم استفاده از شاخص های متعدد هنگام پایش خشکسالی را تأیید می کند. این مطلب توسط محققان متعدد اعلام شده است، به طوری که برخی از محققان برای پایش خشکسالی شاخص های SPI، SPEI^۴ و SDSI-ETDI^۵ را برای پایش خشکسالی پیشنهاد داده اند (سو^۶ و همکاران، ۲۰۱۷). برخی دیگر VCI، NDVI و EVI را برای نظارت بر شروع، شدت، مدت، گستره و تأثیر خشکسالی در سراسر جهان توصیه کردند (کویرینگ و گانش، ۲۰۱۰^۷؛ دوتا^۸ و همکاران، ۲۰۱۵). جیانگ^۹ و همکاران (۲۰۲۰) نیز از SPEI و EVI برای پایش وضعیت خشکسالی و تأثیر آن بر تغییرات پوشش گیاهی استفاده کردند.

همان طور که از مباحث فوق مشخص می گردد، شاخص های ماهواره ای و هواشناسی در بیشتر مطالعات با همدیگر مورد استفاده قرار گرفته اند؛ زیرا خشکسالی رویشی ارتباط نزدیکی با اثرات آب و هوایی دارد. در NDVI، مؤلفه اکولوژیکی قوی، مؤلفه آب و هوایی را تحت تأثیر قرار می دهد؛ از سوی دیگر یکی از دلایل انتخاب VCI بدین سبب است که VCI نوسانات کوتاه مدت NDVI مربوط به آب و هوای را از تغییرات بلند مدت اکوسیستم جدا می کند (کوگان، ۱۹۹۰^{۱۰}؛ ۱۹۹۵^{۱۱}). بنابراین، در حالی که NDVI پویایی پوشش گیاهی فصلی را نشان می دهد، تغییرات VCI در محدوده صفر و ۱۰۰ (درصد) معنکس کننده تغییرات نسبی در شرایط پوشش گیاهی از بسیار نامطلوب تا بهینه است (کوگان و همکاران، ۲۰۰۳). غالباً NDVI با محاسبه شاخص وضعیت گیاهی (VCI) تجزیه و تحلیل می شود که NDVI فعلی را با مقادیر مشاهده شده این شاخص در سال های گذشته مقایسه می کند و همبستگی خوبی با مقادیر SPI دارد.

1. Rimkus
2. Usman
3. Jong
4. Su
5. Quiring & Ganesh
6. Dutta
7. Jiang
8. Kogan

(دوتا و همکاران، ۲۰۱۵؛ گبرهیوت، واندروین و متیوس،^۱ ۲۰۱۱؛ بیان و همکاران، ۲۰۰۶). به گفتهٔ برخی از محققان VCI شاخص بهتری برای کمبود رطوبت نسبت به NDVI است، زیرا امکان جداسازی سیگنال کوتاه‌مدت آب‌وهوا را از سیگنال اکولوژیکی بلندمدت فراهم می‌کند. علاوه‌بر این، VCI مقایسه مقادیر NDVI اندازه‌گیری شده به طور همزمان را نه تنها در شرایط مختلف جغرافیایی، بلکه در انواع مختلف پوشش‌گیاهی فراهم می‌کند (جاین^۲ و همکاران، ۲۰۱۰).

مطابق نتایج از بین شاخص‌های ماهواره‌ای مورد مطالعه NDVI نسبت به سایر شاخص‌های ماهواره‌ای، تغییرات پوشش‌گیاهی را به نحو مطلوب‌تری نشان داد (جدول ۳). کارایی شاخص فوق توسط صابری و همکاران (۱۳۹۷) نیز تأیید شده است. شاخص NDVI بیشترین همبستگی را با SPI در مقیاس سه‌ماهه (SPI-3) نشان داد. تجزیه و تحلیل همبستگی بین SPI و NDVI در دریاچه ارومیه نیز مؤید این است که شاخص خشکسالی کوتاه‌مدت در آن حوضه همبستگی قابل توجهی با NDVI ماهانه دارد (صابری و همکاران، ۱۳۹۷). به عبارتی دیگر، پوشش‌گیاهی استان زنجان در بازه مطالعه متاثر از بارش کوتاه‌مدت است. براساس پژوهش حاضر به طور کلی می‌توان نتیجه گرفت که شاخص NDVI می‌تواند به منظور پایش اثرات خشکسالی بر پوشش گیاهی برای اکثر سری‌های زمانی مناسب باشد که نتایج برخی از مطالعات دیگر نیز بر این موضوع تأکید دارند (دستورانی و همکاران، ۱۳۹۴؛ عوض‌پور و همکاران، ۱۴۰۰؛ رفیعی‌ساردو و همکاران، ۲۰۲۱). در این مطالعه، بیشترین همبستگی بین TCI و SPI با ۱۲ VHI گزارش شد. به بیانی دیگر، دو شاخص مذکور، پوشش‌گیاهی را متاثر از بارندگی‌های بلندمدت گزارش نموده‌اند. در واقع تأثیر خشکسالی بر پوشش‌گیاهی در مقیاس‌های زمانی طولانی تری رخ داده است (شکل‌های ۸ تا ۱۱). برخی از مطالعات نشان داد که تأثیر نوسانات کوتاه‌مدت بارش (SPI) بر مقادیر VCI ضعیف است (جیانگ و همکاران، ۲۰۲۰).

برای جمع‌بندی این مطالعه دو مطلب برجسته می‌گردد: (الف) برای پایش خشکسالی در مناطق مختلف لازم است مقایسه شاخص‌ها صورت گیرد تا به طور نسبی بهترین شاخص(ها) برای مناطق داری آب‌وهوا مشابه مشخص گردد و بتوان از سرگردانی و ضعف در انتخاب یک شاخص اجتناب شود؛ (ب) نقشه‌های خشکسالی می‌توانند به عنوان ابزاری برای کمک به برقراری ارتباط با مسائل و ارائه یک نقطهٔ مرجع یا خط پایه برای افرادی که علاقه‌مند به پرسیدن سؤالاتی در زمینهٔ تابآوری در برابر خشکسالی هستند، استفاده شوند. نقشه‌ها همچنین ممکن است برای برنامه‌ریزان، دولت، سرمایه‌گذاران، بانک‌ها و صنعت بیمه به عنوان ابزار ارزیابی ریسک (یعنی اینکه کدام قسمت‌ها بیشتر در معرض خطر خشکسالی هستند) مورد توجه قرار گیرد.

1. Gebrehiwot, Van der Veen & Maathuis
2. Jain

References

- Aghajanolou, F., Ghorbani, A., Zare Chahoki, M. A., Mostafazadeh, R., & Hashemi Majd, K. (2018). Ecological survey of the presence and absence of Ferula ovina (Boiss.) Boiss and Ferula persica willd. in north-western rangelands of Iran (case study: Zanjan province). *J Rangel Sci*, 8(4), 352-62.
- Avazpour, N., Faramarzi, M., Omidipour, R., & Mehdizadeh, H. (2021). Monitoring the drought effects on vegetation changes using satellite imagery (Case study: Ilam catchment). *Geography and Environmental Sustainability*, 11(4), 125-143. [In Persian]
- Bhuiyan, C., Singh, R. P., & Kogan, F. N. (2006). Monitoring drought dynamics in the Aravalli region (India) using different indices based on ground and remote sensing data. *International Journal of Applied Earth Observation and Geoinformation*, 8(4), 289-302.
- Dastorani, M., Vali, A., Sepehr, A., & Komaki, C. B. (2022). The effect of drought on vegetation using MODIS satellite Khorasan Razavi. *Desert Ecosystem Engineering*, 4(7), 1-8. [In Persian]
- Dayal, K. S., Deo, R. C., & Apan, A. A. (2018). Investigating drought duration-severity-intensity characteristics using the Standardized Precipitation-Evapotranspiration Index: case studies in drought-prone Southeast Queensland. *Journal of Hydrologic Engineering*, 23(1), 05017029.
- De Jong, R., Verbesselt, J., Schaepman, M. E., & De Bruin, S. (2012). Trend changes in global greening and browning: contribution of short-term trends to longer-term change. *Global Change Biology*, 18(2), 642-655.
- Dutta, D., Kundu, A., Patel, N. R., Saha, S. K., & Siddiqui, A. R. (2015). Assessment of agricultural drought in Rajasthan (India) using remote sensing derived Vegetation Condition Index (VCI) and Standardized Precipitation Index (SPI). *The Egyptian Journal of Remote Sensing and Space Science*, 18(1), 53-63.
- Firouzi, F., Tavosi, T., & Mahmoudi, P. (2019). Investigating the sensitivity of NDVI and EVI vegetation indices to dry and wet years in arid and semi-arid regions (Case study: Sistan plain, Iran). *Scientific-Research Quarterly of Geographical Data (SEPEHR)*, 28(110), 163-179. [In Persian]
- Gebrehiwot, T., Van der Veen, A., & Maathuis, B. (2011). Spatial and temporal assessment of drought in the Northern highlands of Ethiopia. *International Journal of Applied Earth Observation and Geoinformation*, 13(3), 309-321.
- He, C., Zhang, Q., Li, Y., Li, X., & Shi, P. (2005). Zoning grassland protection area using remote sensing and cellular automata modeling—a case study in Xilingol steppe grassland in northern China. *Journal of Arid Environments*, 63(4), 814-826.
- Homdee, T., Pongput, K., & Kanae, S. (2016). A comparative performance analysis of three standardized climatic drought indices in the Chi River basin, Thailand. *Agriculture and Natural Resources*, 50(3), 211-219.
- Huho, J. M., & Kosonei, R. C. (2014). Understanding extreme climatic events for economic development in Kenya. *IOSR Journal of Environmental Science, Toxicology and Food Technology*, 8(2), 14-24.
- Jain, S. K., Keshri, R., Goswami, A., & Sarkar, A. (2010). Application of meteorological and vegetation indices for evaluation of drought impact: a case study for Rajasthan, India. *Natural hazards*, 54, 643-656.
- Ji, L., & Peters, A. J. (2003). Assessing vegetation response to drought in the northern Great Plains using vegetation and drought indices. *Remote sensing of Environment*, 87(1), 85-98.
- Jiang, W., Wang, L., Feng, L., Zhang, M., & Yao, R. (2020). Drought characteristics and its impact on changes in surface vegetation from 1981 to 2015 in the Yangtze River Basin, China. *International Journal of Climatology*, 40(7), 3380-3397.
- Kogan, F. (2002). World droughts in the new millennium from AVHRR-based vegetation health indices. *Eos, Transactions American Geophysical Union*, 83(48), 557-563.
- Kogan, F. N. (1990). Remote sensing of weather impacts on vegetation in non-homogeneous areas. *International Journal of remote sensing*, 11(8), 1405-1419.
- Kogan, F. N. (1995). Application of vegetation index and brightness temperature for drought detection. *Advances in space research*, 15(11), 91-100.
- Kogan, F., Gitelson, A., Zakarin, E., Spivak, L., & Lebed, L. (2003). AVHRR-based spectral vegetation index for quantitative assessment of vegetation state and productivity. *Photogrammetric Engineering & Remote Sensing*, 69(8), 899-906.
- Kreibich, H., Di Baldassarre, G., Vorogushyn, S., Aerts, J. C., Apel, H., Aronica, G. T., & Merz, B. (2017). Adaptation to flood risk: Results of international paired flood event studies. *Earth's Future*, 5(10), 953-965.
- Masud, M. B., Qian, B., & Faramarzi, M. (2020). Performance of multivariate and multiscale drought indices in identifying impacts on crop production. *International Journal of Climatology*, 40(1), 292-307.
- McKee, T. B., Doesken, N. J., & Kleist, J. (1993, January). The relationship of drought frequency and duration to time scales. In *Proceedings of the 8th Conference on Applied Climatology* (Vol. 17, No. 22, pp. 179-183).

- Mirmosavei, S., & Kareime, H. (2013). Effect of drought on vegetation cover using MODIS sensing images case: Kurdistan Province. *Geography and Development*, 11(31), 57-76. [In Persian]
- Moazami, N., Keshtkar, A., Hamzeh, S., Mirzaei, S., Keshtkar, H., & Afzali, A. (2022). Remote sensing-based monitoring of the spatiotemporal characteristics of drought using hydro-meteorological indices. *Desert*, 27(2), 343-358.
- Mostafazadeh, R., & Zabihi, M. (2016). Comparison of SPI and SPEI indices to meteorological drought assessment using R programming (Case study: Kurdistan Province). *Journal of the Earth and Space Physics*, 42(3), 633-643. [In Persian]
- Mynden, R. B., Hall, F. G., Sellers, P. J., & Marshak, A. L. (1995). The interpretation of spectral vegetation indexes. *IEEE Transactions on Geoscience and remote Sensing*, 33(2), 481-486.
- Nasir, J., Assefa, E., Zeleke, T., & Gidey, E. (2021). Meteorological Drought in Northwestern Escarpment of Ethiopian Rift Valley: detection seasonal and spatial trends. *Environmental Systems Research*, 10, 1-20.
- Noorbakhsh, M., & Nazari Nejad A. (2022). Investigation of the relationship between NDVI and EVI vegetation indices and land surface temperature in Tehran. *Geography and Human Relationships*, 1(17), 225-236. [In Persian]
- Ozelkan, E., Chen, G., & Ustundag, B. B. (2016). Multiscale object-based drought monitoring and comparison in rainfed and irrigated agriculture from Landsat 8 OLI imagery. *International Journal of Applied Earth Observation and Geoinformation*, 44, 159-170.
- Paltsyn, M. Y., Gibbs, J. P., Iegorova, L. V., & Mountrakis, G. (2017). Estimation and prediction of grassland cover in western Mongolia using MODIS-derived vegetation indices. *Rangeland ecology & management*, 70(6), 723-729.
- Quiring, S. M., & Ganesh, S. (2010). Evaluating the utility of the Vegetation Condition Index (VCI) for monitoring meteorological drought in Texas. *Agricultural and forest meteorology*, 150(3), 330-339.
- Rafiei Sardooi, E., Azareh, A., Eskandari Damaneh, H., & Skandari Damaneh, H. (2021). Drought monitoring using MODIS land surface temperature and normalized difference vegetation index products in semi-arid areas of Iran. *Journal of Rangeland Science*, 11(4), 402-418. [In Persian]
- Rimkus, E., Stonevicius, E., Kilpys, J., Maciulyte, V., & Valiukas, D. (2017). Drought identification in the eastern Baltic region using NDVI. *Earth system dynamics*, 8(3), 627-637.
- Saberi, A., Soltani-Gerdefaramarzi, S. and Miryaghoubzadeh, M. (2018). Study of drought using meteorological and remote sensing data (Azerbaijan province). *Journal of the Earth and Space Physics*, 44(2), 439-461. [In Persian]
- Saberi, A., Gholami, L., Kavian, E.A. & Qheysoori, M. (2019) Evaluation of meteorological drought in Urmia Lake basin using meteorological indicators and remote sensing technique. *4th Conference on Watershed Science and Engineering*. [In Persian]
- Scasta, J. D., Lalman, D. L., & Henderson, L. (2016). Drought mitigation for grazing operations: matching the animal to the environment. *Rangelands*, 38(4), 204-210.
- Singh, R. P., Roy, S., & Kogan, F. (2003). Vegetation and temperature condition indices from NOAA AVHRR data for drought monitoring over India. *International journal of remote sensing*, 24(22), 4393-4402.
- Sorman, A. Ü., Mehr, A. D., & Hadi, S. J. (2018). Study on spatial-temporal variations of Meteorological-Agricultural droughts in Turkey. *The International Archives of the Photogrammetry, Remote Sensing and Spatial Information Sciences*, 42, 483-490.
- Su, Z., He, Y., Dong, X., & Wang, L. (2017). Drought monitoring and assessment using remote sensing. *Remote sensing of hydrological extremes*, 151-172.
- Tesfamariam, B. G., Melgani, F., & Gessesse, B. (2019). Rainfall retrieval and drought monitoring skill of satellite rainfall estimates in the Ethiopian Rift Valley Lakes Basin. *Journal of Applied Remote Sensing*, 13(1), 014522-014522.
- Tian, L., Yuan, S., & Quiring, S. M. (2018). Evaluation of six indices for monitoring agricultural drought in the south-central United States. *Agricultural and forest meteorology*, 249, 107-119.
- Ugwu, E. B. I., Ugbor, D. O., Agbo, J. U., & Alfa, A. (2023). Analyzing rainfall trend and drought occurrences in Sudan Savanna of Nigeria. *Scientific African*, 20, e01670.
- Usman, U., Yelwa, S. A., Gulumbe, S. U., Danbaba, A., & Nir, R. (2013). Modelling relationship between NDVI and climatic variables using geographically weighted regression. *Journal of Mathematical Sciences and Applications*, 1(2), 24-28.
- Vali, A. A., Mousavi, S. H., & Zamani, E. (2019). Statistical analysis of occurrence frequency of dust storms in Yazd province and its modeling based on climatic elements and vegetation cover. *Journal of Spatial Analysis Environmental hazards*, 6(3), 121-142. [In Persian]

- Vicente-Serrano, S. M., Beguería, S., & López-Moreno, J. I. (2010). A multiscalar drought index sensitive to global warming: the standardized precipitation evapotranspiration index. *Journal of climate*, 23(7), 1696-1718.
- Wilhite, D. A. (2005). *Drought and water crises: science, technology, and management issues*. Crc Press.
- Zambrano, F., Wardlow, B., Tadesse, T., Lillo-Saavedra, M., & Lagos, O. (2017). Evaluating satellite-derived long-term historical precipitation datasets for drought monitoring in Chile. *Atmospheric Research*, 186, 26-42.
- Zhao, C., Brissette, F., Chen, J., & Martel, J. L. (2020). Frequency change of future extreme summer meteorological and hydrological droughts over North America. *Journal of Hydrology*, 584, 124316.
- Zuo, D., Hou, W., Wu, H., Yan, P., & Zhang, Q. (2021). Feasibility of calculating standardized precipitation index with short-term precipitation data in China. *Atmosphere*, 12(5), 603.